



# اثر دکالین بر خواص رشته های مداوم پلی پروپیلن

طاهره معینی\*، محمد حقیقت کیش

تهران، دانشگاه صنعتی امیرکبیر، صندوق پستی ۱۵۸۷۵/۴۴۱۳

دریافت: ۸۵/۰۲/۲۸، پذیرش: ۸۶/۰۶/۲۵

## چکیده

در این پژوهش، چگونگی تغییرات ساختاری و تغییر خواص فیزیکی ایجاد شده در اثر برهم کنش های مقابله حلال - پلی پروپیلن با ساختارهای فیزیکی مقاولات معین شده است. نخ های رشته ای پلی پروپیلن با ساختارهای فیزیکی مقاولات (نیمه آرایش یافته) و کشیده شده) با حلال دکاهیدرونفتالین (دکالین) در چهار دمای ۲۸، ۵۵، ۷۵ و ۹۵°C عمل آوری شدند و آثار آن مورد توجه قرار گرفت. ملاحظه شد که در دمای ۹۵°C نمونه ها در حلال حل می شوند و فقط حدود ۹۴ درصد آن به حالت رسوب در دمای ۲۸°C باقی می ماند. با عمل آوری نمونه ها با حلال در دمای های ۲۸ و ۵۵ و ۷۵°C کاهش وزن ناچیزی ملاحظه شد. تنفس و ازدیاد طول تاپارگی نمونه ها، تغییرات چندانی را نشان نداد. اما منحنی تنفس ازدیاد طول نمونه نخ نیمه آرایش یافته در ناحیه تسلیم یافته در تحت اثر حلال قرار می گیرد. گرماسنجی پویشی تفاضلی تغییری در دمای ذوب نمونه ها را نشان نداد. اما نتایج آزمایش های پراش پرتو X ساختار نخ نیمه آرایش یافته را تأیید کرد. برای نمونه های کشیده شده تغییر در مقایر بلورینگی ملاحظه نشد. اندازه گیری ضربی شکست مضاعف نشان داد. تغییرات قابل توجهی در آرایش مولکولی نمونه ها در اثر حلال به وجود می آید. تغییراتی که در نمونه ها در اثر حلال در دمای کم به وجود آمد با مراجعه به مدل ساختاری الیاف پلی پروپیلن توضیح داده شد.

## واژه های کلیدی

پلی پروپیلن، حلال،  
دکالین، ساختار الیاف،  
نخ رشته های مداوم

\*مسئول مکاتبات، پایان نگار:

moeiniAE@aut.ac.ir

# Effects of Decalin on Some Properties of Polypropylene Continuous Filaments

T. Moeini\* and M. Haghigat Kish

Amirkabir University of Technology, P.O. BOX: 15875/4413, Tehran, Iran

## Abstract

This work has setup to determine the effects of a solvent on the structure and properties of polypropylene fibres with different physical structures. Samples of continuous filament yarns with different physical structures (partially oriented (POY) and drawn yarns) are treated with decahydronaphthalene (decalin) at 28, 55, 75 and 95°C. At 95°C, the samples are dissolved completely in decalin and after cooling to room temperature (28°C), only 94% of the polypropylene precipitated. The results of the treating yarn samples with decalin at 28, 55 and 75°C, show a small reduction in the weight of the samples. Breaking strength and elongation remained unchanged and stress-strain curve of the POY samples in the yield region did not change. Fourier transform infrared spectra of the samples are compared with those of the published literature and the changes in the spectrum as the results of the treatment with decalin are verified. X-ray diffraction studies show the changes in the structure of POY samples. Differential scanning calorimeter shows no changes in the melting point of the samples, but confirms the results of X-ray diffraction regarding the changes in the structure of POY samples. For the drawn samples X-Ray diffraction diagrams did not show considerable changes. Measurement of birefringence of the samples shows considerable changes in the molecular orientation of the samples due to solvent treatment. The changes in the structure of the samples treated at low temperature with decalin are explained with reference to the pertinent structural models of polypropylene fibers.

## Key Words

polypropylene, solvent, decalin, structure of fibers, continuous filament yarn

(\*) To whom correspondence should be addressed.

E-mail: moeiniAE@aut.ac.ir

## مقدمه

اشاره شده، ساختار فیزیکی متفاوتی دارد.

یکی دیگر از انواع پلیپروپیلن که ساختار جالب توجهی دارد، پلیپروپیلن کشسان است [۵]. الیاف کشسان پلیپروپیلن مانند کش لاستیکی عمل کرده، یعنی وقتی کشیده و رها می‌شوند، پس از حذف نیرو، به طول اولیه بر می‌گردند. رشته‌های تولیدی با هر یک از این روش‌ها، خواص و ریزساختار متفاوتی دارند.

در سال‌های گذشته، برای الیاف پلیپروپیلن مدل‌های ساختاری پیشنهاد شده است [۶-۸]. واحدهای سازنده در این مدل‌ها گویچه‌ها، مولکول‌های تاخورده ریز لیفچه‌ها و ورقه‌ها هستند که بسته به روش تولید، مقدارکشش و عمل آوری گرمایی، نقش و مقدار این اجزا با هم متفاوتند. روش‌های جدید میکروسکوپی با قدرت تشخیص چند نانومتر [۸]، نیز چنین ساختاری را تأیید کرده است.

در الیاف واحدهای بلوری با ابعاد  $20 \times 7 \times 0.7 \text{ nm}$  در امتداد لیف آرایش داشته و در ورقه‌هایی مستقر هستند که عمود بر امتداد لیف قرار دارند. در ورقه‌ها، مولکول‌ها به حالت تاخورده قرار گرفته‌اند و برخی مولکول‌ها به شکل ریشک از ورقه‌ها خارج می‌شوند و مولکول‌های گره خورده را در ناحیه‌بی نظم به وجود می‌آورند. ضخامت ورقه‌ها به چند  $10 \text{ nm}$  می‌رسد. هنگام ریسنگی که الیاف تحت تأثیر تنفس قابل ملاحظه ای قرار می‌گیرند، ورقه‌ها در جهتی که حداقل ممانعت وجود دارد، حرکت می‌کنند تا جایی که شکستگی در توده ورقه‌ها به وجود آید. در اثر آن ترک‌هایی به فاصله  $10 \text{ nm}$  تا  $30 \text{ nm}$  به وجود می‌آیند که تعدادی ورقه‌های روی هم ریز لیفچه‌ها را می‌سازند [۶-۸].

اثر حلال‌ها بر پلیپروپیلن مورد توجه پژوهشگران مختلفی قرار گرفته است [۹-۱۴]. حلال‌ها برای تعیین گرانروی ذاتی محلول پلیپروپیلن [۲] و تعیین درصد پلیمر منظم، بسیار مورد استفاده قرار می‌گیرند [۱۵]. ویگمن و ریینک [۱۰] انواع الیاف مصرفی از جمله پلیپروپیلن را تحت تأثیر حلال‌های غیرمحمول در آب قرار دادند که دارای پارامتر انحلال پذیری متفاوتی بودند. اثر متقابل حلال و پلیمر به وسیله منحنی نیرو - ازدیاد طول و ضربیت کشسانی مشخص شد. ملاحظه شد که با افزایش پارامتر انحلال پذیری حلال‌های مصرفی، ضربیت کشسانی الیاف پس از اثر برخی از حلال‌ها کاهش می‌یابد و هنگامی که پارامتر انحلال پذیری پلیمر نزدیک به پارامتر انحلال پذیری حلال می‌شود، بیشترین آثار حاصل می‌شود. نتایج آزمایش‌های نشان داد که چگونگی عمل نیروهای بین مولکولی در پلیپروپیلن پیچیده است.

برای برخی حلال‌ها افزایش مدول اولیه نیز ملاحظه شد [۱۰].

خواص مکانیکی فیلم‌های پلیپروپیلن که تحت تأثیر بخارات حلال‌های مختلف قرار گرفته‌اند، نیز مطالعه شده است. یوزو ما و یوگولو [۱۱، ۱۲] فیلم‌های پلیپروپیلن را تحت نیروهای مختلف در زمان‌های

پلیپروپیلن یکی از پلیمرهای پرصرف در کشور و جهان است. این پلیمر در گروه پلی‌الفین‌ها با ساختار مولکولی باقاعدۀ قرار دارد. شاید یکی از دلایل پرصرف شدن آن تنوع ساختاری است که می‌تواند داشته باشد. زیرا، این تنوع ساختاری منجر به خواص فیزیکی متفاوتی می‌شود که برای کاربردهای مختلف حائز اهمیت است. یکی از موارد صرف این پلیمر در نساجی است. کف‌پوش‌ها، پوشش‌های خانگی، پارچه‌لباسی و پارچه‌های صنعتی از پلیپروپیلن تک نظم تولید می‌شوند [۱]. برای تولید این نوع محصولات، ابتدا پلیپروپیلن تبدیل به رشته‌های مداوم یا منقطع می‌شود.

روش‌های تولید، ساختار و خواص الیاف پلیپروپیلن در مراجع [۲-۴]، مورد توجه قرار گرفته و به طور مبسوط شرح داده شده است. الیاف به صورت منقطع یا نخ‌های مداوم چندرشته‌ای به روش مذاب ریسی تولید می‌شوند. الیاف تولید شده ممکن است کشیده یا در دمای معینی قرار گیرند یا این که به وسیله عملیات گرمایی - مکانیکی توام در آنها تغییر شکل ایجاد شود تا برای کاربردهای مختلف مناسب شوند.

الیاف پلیپروپیلن ممکن است با سرعت کم (چند صد متر در دقیقه)، در دستگاه‌هایی که دارای رشته سازهایی با هزاران روزنه هستند، تولید شوند یا این که با سرعت زیاد (چند هزار متر در دقیقه)، به وسیله دستگاه‌هایی تولید شوند که رشته ساز آنها تعداد کمی روزنه دارد.

نخ‌های چند رشته‌ای ممتد به حالت نیمه آرایش یافته (POY)، کاملاً آرایش یافته (FOY) و رشته‌های حجمی شده (BCF) تولید می‌شوند. مهم ترین مشخصه این دستگاه‌های تولیدی، منطقه سردکننده بلند است. هنگامی که سرعت تولید زیاد است، برای طولانی کردن زمان سرمایش، چنین طول بلندی انتخاب می‌شود یا از سامانه‌های خنک کننده بهره گرفته می‌شود. در این دستگاه‌ها، سرعت تولید به  $2000 \text{ m/min}$  تا  $3000 \text{ m/min}$  می‌رسد. نخ‌های نیمه آرایش یافته (POY) معمولاً در فرایندهای بعد از تولید کشیده می‌شوند تا مورد صرف قرار گیرند. مصارف نخ‌های تولیدی، پارچه‌های رومبلی، لباس‌های ورزشی و پاپوش‌ها هستند.

در فرایند تولید نخ‌های رشته‌ای حجمی شده (BCF)، فرایند اکستروژن، کشش و تغییر شکل دادن (موج دار کردن) رشته‌ها، در چند دستگاه متواتی انجام می‌شود. بعد از کشش عملیات تغییر شکل دادن، انجام می‌شود.

رایج‌ترین روش حجمی کردن، استفاده از محفظه داغ برای متراکم و تاخورده قراردادن نخ در آن است. در این روش، نخ چند رشته‌ای مداوم درون محفظه‌ای داغ فشرده می‌شود. در اثر فشرده شدن رشته‌ها، تاخورده‌گی هایی در آنها به وجود می‌آید. سپس، نخ‌ها سرد شده و پس از درهم شدن و درهم گیر اندختن، روی بسته‌ای پیچیده می‌شوند. در هر حالت انواع الیاف تولیدی

شده (BCF)، از تولیدات کارخانه‌های داخلی که در فرش‌های ماشینی مورد استفاده قرار می‌گیرد، نخ نیمه‌آرایش یافته (POY) و سه نمونه نخ کشیده شده به کار گرفته شد. نخ‌های نیمه‌آرایش یافته و کشیده شده به وسیله دستگاه نیمه صنعتی تولید شدند. پلی‌پروپیلن مصرفی برای این نخ‌ها از دانه تجاری به نام Sabic ۵۱۲ P (عربستان) است. دانه به وسیله دستگاه نیمه صنعتی مذاب ریسی با سرعت برداشت  $2000\text{ m/min}$  به نخ نیمه‌آرایش یافته تبدیل شد. نمره نخ تولیدی  $13/5\text{ tex}$  و تعداد رشته‌ها در نخ ۳۶ بود. در تولید نخ از لعاب ریسنده‌گی تجاری Stantex T<sub>900</sub> (شرکت سمند گستر شیمی - ایران) استفاده شد و حدود ۱ درصد وزنی از آن در نخ برای جلوگیری از به وجود آمدن الکتریسیته ساکن به کار رفت. برای انجام کشش از ماشین تاب کشش با یک مرحله کشش استفاده شد. نسبت کشش ۲/۱ و ۲/۲ در دمای اسمی گرم کن  $140^{\circ}\text{C}$  انتخاب شد. در این پژوهش، دستگاه کشش Zinser مدل ۵۲۰-۳ ساخت آلمان به کار گرفته شد. مشخصات عمومی نمونه نخ‌های مورد استفاده در جدول ۱ نشان داده شده است.

محلول‌های شیمیایی مورد استفاده عبارت بودند از: متانول نوع آزمایشگاهی با خلوص ۹۹ درصد و دکالین از نوع آزمایشگاهی، محصول Merck با خلوص ۹۸ درصد، با نام دکاہیدرونفتالین و فرمول شیمیایی  $\text{C}_{11}\text{H}_8$ ، چرم مخصوص  $0/88\text{ g/cm}^3$ ، وزن مولکولی  $13725\text{ g/mol}$  در  $192^{\circ}\text{C}$ ، دمای جوش  $188^{\circ}\text{C}$  و  $n_D^{20} = 1.7475$ . برای شستشو از آب مقطر یک بار تقطیر شده استفاده شد.

### دستگاه‌ها

برای اندازه‌گیری وزن نمونه‌ها از ترازوی Explorer OHAUS با دقیق اندازه‌گیری تا ۴ رقم اعشار استفاده شد. خواص مکانیکی رشته‌ها با دستگاه فاف گراف Textechno Fafegraph M آلمان با سرعت ثابت از دیاد طول اندازه‌گیری شد. سرعت حرکت فک‌ها  $20\text{ mm/min}$  و فاصله فک‌ها در شروع آزمایش،  $20\text{ mm}$  بود. طیف‌های زیرقرمز نمونه‌ها بین اعداد موجی  $400\text{ cm}^{-1}$  تا  $4000\text{ cm}^{-1}$  با

جدول ۱- ویژگی‌های نخ‌های مورد استفاده در آزمایش‌ها.

تعداد رشته در نخ	نمره نخ (tex)	نمونه نخ
۱۲۴	۱۶۲/۲	حجم شده (BCF)
۳۶	۱۳۵	نیمه آرایش یافته (POY)
۳۶	۷/۳	کشیده شده با نسبت کشش ۲
۳۶	۶/۹	کشیده شده با نسبت کشش ۲/۱
۳۶	۶/۵	کشیده شده با نسبت کشش ۷/۲

متفاوت در مجاورت بخارات حلال‌های هیدروکربنی (کلروفرم، کربن تتراکلرید و دی کلرومتان) و حلال‌های حلقوی (ری‌فرمات، تولوئن، ۵-زاپلین، نفتا و تترالین) قرار دادند و خواص مکانیکی (مدول اولیه، استحکام، ازدیاد طول تا پارگی و نقطه تسیلیم) را اندازه‌گیری و به برهمن کنش مقابله حلال-پلیمر و نیروهای چسبندگی ارتباط دادند. به نظر این پژوهشگران تغییرات خواص فیلم‌های عمل آوری شده دو منشأ اصلی دارد. یکی حاصل از آرایشی که از طریق اعمال تنفس به وجود می‌آید که موجب افزایش بلورینگی و جهت‌گیری مولکولی و افزایش استحکام می‌شود و دیگری اثر نرم کنندگی حلال باقی مانده که موجب کاهش استحکام و کاهش مدول اولیه پلیمر می‌شود.

گوراسی و همکاران [۱۳] و ویتوریا و ری و [۱۴]، موضوع اثر حلال‌ها بر پلی‌پروپیلن هم‌نظم [۱۳] و تک‌نظم [۱۴] را مورد توجه قرار دادند. حلال‌های هگزان نرمال، اکتان، سیکلوهگزان، کربن تتراکلرید، تولوئن، بنزن، کلروفرم و دی‌کلرواتان مورد آزمایش قرار گرفتند. ملاحظه شد که هرگاه پلیمر در حالت سریع سرد شده از مذاب، که ساختار شبیه بلوری یا شیشه‌ای به آن نسبت داده می‌شود، در حلال قرار گیرد، حلال موجب تبلور پلیمر می‌شود. در القای تبلور در اثر حلال برای پلی‌پروپیلن تک‌نظم، بلورها از دسته تک شیب (monoclinic) بودند. ملاحظه شد رفتار نفوذ حلال‌ها از قانون فیک پیروی می‌کند. حداقل غلظت حلال در پلیمر، وابسته به ضریب اتحلال پذیری حلال به کار رفته است [۱۴]. پدیده القای تبلور در اثر حلال در پلی‌پروپیلن و سایر پلیمرها مربوط به دمای کمتر از دمای تبدیل شیشه‌ای است که حلال موجب افزایش حجم آزاد و حرکات وسیع تر قطعات مولکولی می‌شود. در مقالات، این پرسش پاسخ داده نشده است که حلال‌ها در دمای بیشتر از دمای شیشه‌ای چگونه تبلور را القای می‌کنند.

حلال‌ها می‌توانند خواص جالب توجه و گاه غیرمنتظره‌ای را در پلی‌پروپیلن ایجاد کنند. در مقاله حاضر اثر دکالین (دکاہیدرونفتالین)، روی برخی خواص رشته‌های مدامی پلی‌پروپیلن مورد توجه قرار گرفته است. پارامترهای اتحلال پذیری گزارش شده برای دکالین و پلی‌پروپیلن بسیار نزدیک است. پارامتر اتحلال پذیری برای دکالین  $178/2 \times 10^{-3}(\text{Jm}^{-3})$  و برای پلی‌پروپیلن مقادیر  $17/2 \times 10^{-3}(\text{Jm}^{-3})$  [۱۶] گزارش شده است.

### تجربی

### مواد

پنج نمونه نخ مورد استفاده قرار گرفت. نخ یک سره با رشته‌های حجم

(۲۸°C)، از هر یک از نمونه‌های عمل آوری شده با مтанول نمونه‌های توزین شد و در حلال دکالین قرار گرفت. با افزایش تدریجی دما ملاحظه شد که نمونه‌ها در دمای ۹۰°C به بالا کاملاً حل می‌شوند. بنابراین دمای حلال به ۹۵°C رسانده شد، سپس دما تا دمای محیط کاهش یافت. در این حالت رسوبی تشکیل شد که پس از صاف کردن و شستشوی مجدد آن با مтанول در دمای محیط، رسوب جدا شده و در دمای محیط خشک و توزین شد و از مقدار آن درصد پلیپروپیلن نامحلول در دکالین در دمای ۲۸°C به دست آمد، نتایج در جدول ۲ آمده است.

**کاهش وزن نمونه‌ها پس از عمل آوری با دکالین در دمای مختلف**  
برای تعیین کاهش وزن نمونه‌ها مقادیر مشخصی از هر یک از پنج نمونه نخسته شده با مтанول به طور جداگانه به حالت آزاد در حلال دکالین و در شرایط متفاوت زیر قرار گرفتند:

- دمای محیط (۲۸°C) به مدت یک روز،
- دمای محیط به مدت ۱ h،
- ۵۵°C به مدت ۱ h او
- ۷۵°C به مدت ۱ h.

نمونه‌ها پس از عمل آوری با دکالین، شستشو با مтанول و خشک شدن، توزین شدند. شرایط انتخاب شده با استفاده از آزمایش‌های ابتدایی انجام شد. آزمایش‌های ابتدایی نشان داد که تغییرات نسبتاً محسوسی را می‌توان در دمای بیش از دمای محیط به دست آورد و نیز با توجه به این که دمای حل شدن الیاف در حلال بیشتر از ۸۰°C است، بنابراین آزمایش‌هایی در دما و زمان‌هایی که از نظر انجام، مناسب بود، صورت گرفت. درصد کاهش وزن تمام نمونه‌ها در جدول ۳ آمده است.

### خواص مکانیکی

خواص مکانیکی از قبیل استحکام و درصد ازدیاد طول تا پارگی پنج نمونه نخ مختلف اندازه‌گیری شده است. نتایج میانگین اندازه‌گیری‌ها و حدود

دستگاه طیف‌سنجی Nicolet Nexus FTIR برداشت شد. قدرت تشخیص اسمی دستگاه  $4\text{ cm}^{-1}$  و  $32\text{ پویش}$  بود. حدود  $10\text{ mg}$  از نمونه‌ها با KBr خشک مخلوط و پس از تهیه قرص، طیف آنها برداشت شد. نمودارهای رفتار گرمایی به وسیله دستگاه گرماسنجی پویشی تفاضلی T.A Instrument، ۲۰۱۰ با سرعت گرمادهی  $10^{\circ}\text{C}/\text{min}$  بین  $30^{\circ}\text{C}$  تا  $210^{\circ}\text{C}$  اندازه‌گیری شد. با استفاده از معادله (۱)، درصد بلورینگی (%) نمونه‌ها محاسبه شد:

$$\text{X\%} = (\Delta H / \Delta H^*) \times 100 \quad (1)$$

در این معادله  $\Delta H$  آنتالپی نمونه مورد مطالعه و  $\Delta H^*$  آنتالپی نمونه کاملاً بلوری است. مقدار  $\Delta H^*$  برای نمونه کاملاً بلوری مقدار  $165\text{ J/g}$  با مشخص شده است [۱۹، ۲۰]. آزمایش پراش پرتو X با استفاده از دستگاه پراش سنج Siemens ۵۰۰۰ با هدف مس و پرتو X با طول موج  $154\text{\AA}$  انجام شد. برای اندازه‌گیری ضریب شکست مضاعف از میکروسکوپ نور قطبیده Reichert Austria مجهز به تأخیرانداز کوارتز استفاده شد. برای مشاهده سطح الیاف با قدرت تشخیص بهتر میکروسکوپ الکترون پویشی Cambridge انگلستان به کار گرفته شد.

### روش‌ها

تعیین درصد پلیپروپیلن نامحلول در دکالین در دمای  $28^{\circ}\text{C}$  مقدار  $10\text{ g}$  از هر یک از پنج نمونه نخ، سه مرتبه با مтанول در دستگاه سوکسله در دمای محیط عمل آوری شدند تا مواد محلول در مтанول خارج شوند. پس از آن، نمونه‌ها با آب شستشو داده شده و در دمای محیط خشک شدند. قبل و بعد از این آزمایش‌ها، نمونه‌ها توزین و درصد کاهش وزن آنها محاسبه شد. گوپتا و کوتاری [۲۱]، این روش را برای زدودن لعاب ریسندگی توصیه کرده‌اند.  
برای تعیین درصد پلیپروپیلن نامحلول در دکالین در دمای محیط

جدول ۲- کاهش وزن در اثر عمل آوری با مтанول و درصد پلیپروپیلن نامحلول در دکالین در  $28^{\circ}\text{C}$ .

نمونه نخ	درصد کاهش وزن در اثر شستشو با مтанول	درصد پلیپروپیلن نامحلول در دکالین در $28^{\circ}\text{C}$
حجیم شده (BCF)	۷/۲	۹۲/۹
نیمه آرایش یافته (POY)	۰/۷	۹۳/۱
کشیده شده با نسبت کشش ۲	۷/۰	۹۴/۱
کشیده شده با نسبت کشش ۲/۱	۰/۹	۹۴/۳
کشیده شده با نسبت کشش ۲/۲	۰/۹	۹۴/۳

### جدول ۳- کاهش وزن نمونه ها در اثر عمل آوری با دکالین در دماها و زمان های متفاوت.

درصد کاهش وزن نمونه های نخ عمل آوری شده با دکالین در دماها و زمان های متفاوت				نمونه نخ
۷۵°C, ۱ h	۵۵°C, ۱ h	۲۸°C, ۱ h	۲۸°C, ۱ روز	
۲/۹۸	۱/۳۷	۰/۸۴	۱/۶۶	(BCF) حجیم شده
۲/۹۰	۱/۲۳	۰/۶۸	۱/۷۵	(POY) نیمه آرایش یافته
۱/۳۱	۰/۵۴	۰/۳۷	۱/۲۵	کشیده شده با نسبت کشش ۲
۱/۳۱	۰/۵۲	۰/۱۸	۰/۸۸	کشیده شده با نسبت کشش ۲/۱
۱/۱	۰/۵۲	۰/۱۴	۰/۵۹	کشیده شده با نسبت کشش ۲/۲ (FOY)

#### میکروسکوپ الکترونی

برای مشاهده سطح الیاف ابتدا سطح نمونه ها با طلا پوشش داده شد و سپس با میکروسکوپ الکترونی بررسی شد.

#### نتایج و بحث

##### تعیین درصد پلیپروپیلن نامحلول در دکالین در دمای ۲۸°C

جدول ۲ نتایج کاهش وزن نمونه ها در اثر شستشو با متانول و درصد پلیپروپیلن باقی مانده در دکالین را در دمای ۲۸°C نشان می دهد. مтанول فقط مواد تکمیلی را که پس از رسیدگی به نخ اضافه شده خارج کرده و دور از انتظار نیست که مقدار کمی باشد. پلیپروپیلن های مصری برای تولید الیاف اغلب حدود ۹۳ تا ۹۵ درصد پلیپروپیلن تک نظم دارند [۲۳]. اتحال در حال و تعیین مقدار رسوب باقی مانده، به عنوان تخمینی برای مقدار جزء بلوری شونده (تک نظم) پلیپروپیلن است [۱۵]. اگر چه اختلاف کمی بین نمونه ها ملاحظه می شود، اما به سبب نبود اطمینان آماری نمی توان درباره اختلاف بین نمونه ها اظهار نظر کرد. ملاحظه می شود که نخ نیمه آرایش یافته و نمونه های کشیده شده به طور متوسط دارای ۹۴ درصد پلیپروپیلن تک نظم بلوری شونده هستند.

##### کاهش وزن نمونه ها پس از عمل آوری با دکالین در دماهای مختلف

به طوری که نتایج جدول ۳ نشان می دهد در زمان نسبتاً طولانی مقدار جزئی پلیمر (احتمالاً اجزایی با وزن مولکولی کم) در حال حل شده و از نمونه ها خارج شده اند. به نظر می رسد که دما، زمان و ساختار بر این مقادیر مؤثر باشد. در نخ های کشیده شده که ساختار متراکم تری نسبت به نمونه نخ نیمه آرایش یافته دارند، این مقادیر کمتر است. چون منشأ نخ حجیم شده (BCF) متفاوت از سایر نخ هاست، بنابراین مقایسه آن با سایر نخ ها بر یک اساس نخواهد بود. در هر حال، ملاحظه می شود که در

اعتماد در سطح ۹۵ درصد آماری محاسبه و در شکل ها نشان داده شده اند. برای مقایسه با مرجعی مشخص، آزمایشی در شرایط دمایی مشابه با حالت یاد شده انجام شد. در این آزمایش نخ نیمه آرایش یافته در آب، در دماهای محیط (۲۸°C)، ۵۵ و ۷۵°C به مدت ۱ h قرار گرفت. پس از خارج کردن از این حمام و خشک شدن در دمای محیط، استحکام و ازدیاد طول نمونه های یاد شده و نمونه خام اندازه گیری شد.

##### طیف سنجی زیور قرمز

طیف FTIR نمونه های نیمه آرایش یافته پس از عملیات مختلف برداشت شد. جذب ها در اعداد موجی مختلف با دو مرجع مختلف [۲۲، ۲۳] مقایسه شد. نتایج این مقایسه همراه با منشأ حرکات شناخته شده در جدول ۴ آمده است. بدینهی است اعداد موجی ستیغ های (peak) جذب بستگی به نوع نمونه، دقت دستگاه و روش تهیه نمونه دارد. علاوه بر نمونه های مورد آزمایش، یک نمونه از نخ عمل آوری شده در ۵۵°C به مدت ۱ h در دکالین، به وسیله دستگاه اینسترون به طول ۲ برابر کشیده شد و سپس طیف FTIR آن برداشت شد.

##### گرماسنجدی پویشی تفاضلی

گرماسنجدی پویشی تفاضلی نمونه های مختلف بررسی شد.

##### X پراش پرتو

طیف های پراش پرتو X برای زوایای پراش ۱۰ تا ۳۳° برای نمونه نیمه آرایش یافته و شسته شده با مтанول (خام) و همچنین نمونه عمل آوری شده با دکالین در ۷۵°C برداشت شد.

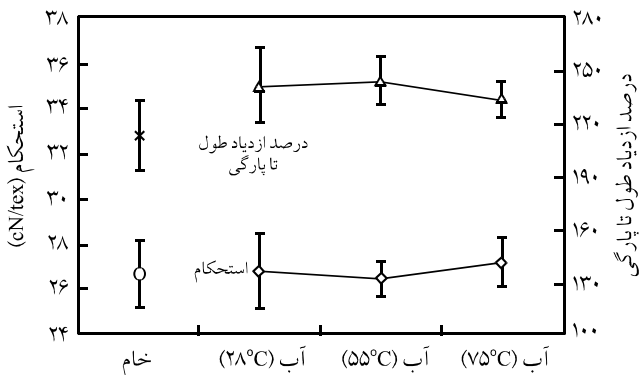
##### ضریب شکست مضاعف

ضریب شکست مضاعف نمونه ها با استفاده از رنگ های تداخلی الیاف در میکروسکوپ نور قطبیده و مقایسه آنها با جدول میشل لیوی اندازه گیری شد.

جدول ۴- مقایسه ستیغ‌های طیف‌های جذبی زیرقمر نمونه‌ها با ستیغ‌های شناسایی شده در مراجع (توضیح: اعداد موجی ستیغ‌ها، به صورت عدد و شدت آنها داخل پرانتز با حروف لاتین مشخص شده است).

شناسایی		نتایج تجربی				نوع حرکت
مرجع [۲۳]	مرجع [۲۲]	رسوب	عمل آوری شده با ۷۵°C دکالین در دمای	عمل آوری شده با ۵۵°C دکالین در دمای	شسته شده با متانول (خام)	
عدد موجی، $\text{cm}^{-1}$ (شدت)	عدد موجی، $\text{cm}^{-1}$ (شدت)	عدد موجی، $\text{cm}^{-1}$ (شدت)				
۸۰۹ (w)	۸۰۹ (m)	۸۰۹ (۰/۸۸)	۸۰۹ (۰/۵۹)	۸۰۹ (۰/۵۳)	۸۰۹ (۰/۵۷)	$\text{CH}_2$ rock, r CM , r cc
۸۴۱ (m)	۸۴۲ (s)	۸۴۱ (۷۹۵)	۸۴۱ (۷۵۴)	۸۴۱ (۷۳۲)	۸۴۱ (۷۵۵)	$\text{CH}_3$ rock., r cc
۹۰۰ (w)	۸۹۹ (m)	۸۹۹ (۰/۸۷)	۸۹۹ (۰/۵۳)	۸۹۹ (۰/۵۳)	۸۹۹ (۰/۵۲)	$\text{CH}_3$ rock., $\text{CH}_2$ rock., CH Bend.
۹۴۰ (vm)	۹۴۱ (w)	۹۴۱ (۰/۳۶)	۹۴۱ (۰/۲۰)	ندارند		$\text{CH}_3$ rock., r cc
۹۷۳ (m)	۹۷۳ (s)	۹۷۳ (۲/۲۱)	۹۷۳ (۲/۰۰)	۹۷۳ (۱/۸۰)	۹۷۳ (۲/۲۴)	$\text{CH}_3$ rock., r cc, r cc
۹۹۸ (m)	۹۹۸ (s)	۹۹۸ (۲/۲۲)	۹۹۸ (۱/۸۰)	۹۹۸ (۷۰۹)	۹۹۸ (۷۹۲)	$\text{CH}_3$ rock., r CM, $\text{CH}_2$ twist., CH Bend.
ندارند	۱۰۳۴ (m)	ندارند				r CM, $\text{CH}_3$ rock., $\text{CH}_2$ twist., CH Bend.
۱۰۴۵ (vm)	۱۰۴۵ (m)	۱۰۴۴ (۰/۴۴)	۱۰۴۴ (۰/۴۰)	۱۰۴۴ (۰/۴۵)	۱۰۴۴ (۰/۰)	r CM, r cc
۱۱۰۱ (vm)	۱۱۰۳ (m)	۱۱۰۳ (۰/۶۲)	۱۱۰۳ (۰/۵۴)	۱۱۰۳ (۰/۵۶)	۱۱۰۳ (۰/۶۸)	$\text{CH}_3$ rock., r cc
۱۱۵۴ (w)	۱۱۵۵ (m)	ندارند				r CM, CH Bend.
۱۱۶۴ (m)	۱۱۶۸ (s)	۱۱۶۸ (۲/۲۵)	۱۱۶۷ (۱/۹۴)	۱۱۶۷ (۱/۷۳)	۱۱۶۷ (۲/۰۷)	r cc, $\text{CH}_3$ rock.
۱۲۲۰ (vm)	۱۲۲۰ (w)	۱۲۱۹ (۰/۴۹)	۱۲۱۹ (۰/۳۹)	۱۲۱۹ (۰/۴۷)	۱۲۱۹ (۰/۴۳)	$\text{CH}_2$ twist., CH Bend., r cc
۱۲۵۵ (w)	۱۲۵۴ (m)	۱۲۵۶ (۰/۸۵)	۱۲۵۶ (۰/۷۹)	۱۲۵۶ (۰/۹۳)	۱۲۵۶ (۰/۸۷)	$\text{CH}_2$ twist., CH Bend.
۱۲۹۶ (vm)	۱۲۹۶ (w)	ندارند				CH Bend., $\text{CH}_2$ wag.
۱۳۰۵ (w)	۱۳۰۴ (m)	۱۳۰۴ (۰/۹۷)	۱۳۰۴ (۰/۹۴)	۱۳۰۴ (۰/۹۳)	۱۳۰۴ (۱/۰۴)	$\text{CH}_2$ wag., $\text{CH}_2$ twist., CH Bend.
۱۳۲۶ (vm)	۱۳۲۶ (vm)	ندارند				CH Bend.
ندارند	۱۳۳۰ (w)	۱۳۲۹ (۰/۷۳)	۱۳۲۹ (۰/۷۳)	۱۳۳۰ (۰/۷۴)	۱۳۳۰ (۰/۸۵)	$\text{CH}_2$ wag., CH Bend.
۱۳۵۷ (m)	۱۳۵۰ (m)	۱۳۵۹ (۲/۳۹)	۱۳۵۹ (۰/۹۸)	۱۳۵۹ (۱/۷۹)	۱۳۵۹ (۲/۱۳)	$\text{CH}_2$ wag., $\text{CH}_3$ asym., CH Bend.
ندارند	۱۳۶۵ (vm)	ندارند				$\text{CH}_3$ wag. $\text{CH}_3$ sym., CH Bend.
۱۳۷۰ (s)	ندارند				$\text{CH}_3$ sym., $\text{CH}_2$ wag.. CH, CCb Stretch.	
ندارند	۱۳۷۷ (s)	۱۳۷۶ (۴/۹۸)	۱۳۷۷ (۴/۶۰)	۱۳۷۷ (۳/۹۳)	۱۳۷۷ (۵/۳۷)	$\text{CH}_3$ sym.
ندارند	۱۳۷۸ (m)	ندارند				$\text{CH}_3$ sym.
۱۴۳۴ (m)	۱۴۳۵ (m)	ندارند				$\text{CH}_2$ Bend.
ندارند	۱۴۵۴ (s)	۱۴۵۶ (۴/۳۷)	۱۴۵۶ (۴/۲۳)	۱۴۵۶ (۳/۶۸)	۱۴۵۷ (۴/۹۱)	$\text{CH}_3$ sym.
۱۴۶۰ (s)	۱۴۶۰ (s)	ندارند				$\text{CH}_3$ asym.
۲۸۴۰ (vs)	ندارد	۲۸۳۸ (۴/۷۰)	۲۸۳۸ (۴/۸۱)	۲۸۳۸ (۴/۲۶)	۲۸۳۸ (۵/۵۵)	$\text{CH}_2$ Stretch. sym.
۲۸۶۹ (vs)	ندارد	۲۸۶۷ (۴/۶۸)	۲۸۶۸ (۴/۷۷)	۲۸۶۸ (۵/۴۸)	۲۸۷۸ (۴/۲۰)	$\text{CH}_2$ Stretch. sym.
۲۸۷۷ (vs)	ندارند				$\text{CH}_3$ Stretch. sym.	
۲۹۰۷ (sh)	ندارند				CH Stretch.	
۲۹۲۱ (vvs)	ندارند	۲۹۱۹ (۵/۲۹)	۲۹۲۲ (۵/۶۳)	۲۹۲۲ (۴/۷۱)	۲۹۲۳ (۶/۴۹)	$\text{CH}_2$ Stretch. asym.
۲۹۵۳ (vvs)	ندارد	۲۹۵۰ (۵/۱۸)	ندارند			
۲۹۵۶ (vvs)	ندارد	ندارد	۲۹۵۵ (۵/۳۹)	۲۹۵۶ (۴/۶۳)	۲۹۵۷ (۶/۳۶)	$\text{CH}_3$ Stretch. asym.

asym.: نامتقارن، sym.: متقارن، v: زیاد، s: قوی، m: متوسط، w: ضعیف، r CM: کششی C - متیل، sh: ستیغ، cc: کششی C - C

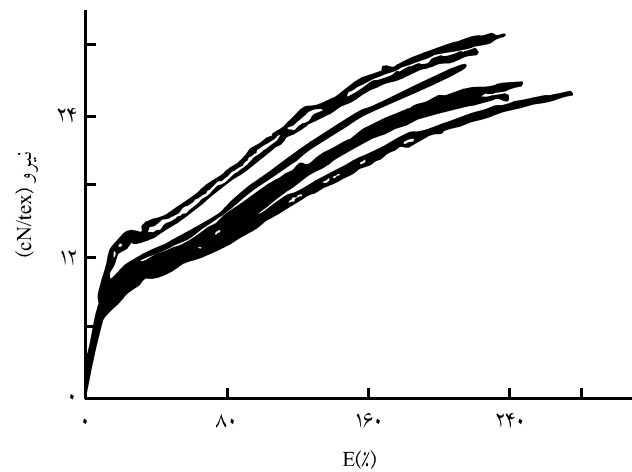


شکل ۳- استحکام و درصد ازدیاد طول تا پارگی نخ نیمه آرایش یافته خام و عمل آوری شده با آب به مدت ۱h در دماهای مختلف.

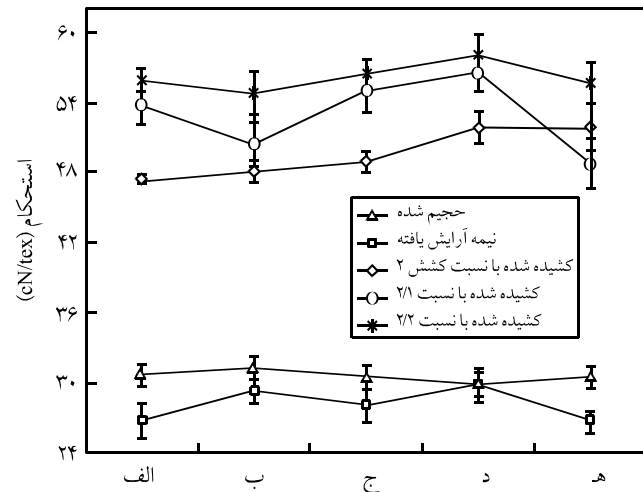
شده برای نخ‌ها معمول است. به طوری که نتایج آزمایش‌های گفته شده نیز نشان می‌دهد حلال دکالین در دماهای ۲۸ و ۵۵°C مانند آب در دماهای ۲۸ و ۵۵°C اثری بر استحکام و ازدیاد طول تا پارگی نمونه‌های نیمه آرایش یافته و کشیده با نسبت کشش ۷۵°C برای نخ نیمه آرایش یافته و کشیده شده با نسبت کشش ۲ کاهش در استحکام ملاحظه می‌شود.

در شکل ۳ استحکام و درصد ازدیاد طول تا پارگی نخ نیمه آرایش یافته خام و عمل آوری شده با آب به مدت ۱h در دماهای مختلف نشان داده شده است.

شکل‌های ۴ و ۵ منحنی‌های تنش - کرنش نمونه نخ نیمه آرایش یافته و عمل آوری شده با آب و دکالین را در دماهای ۷۵°C نشان می‌دهند. منحنی‌های تنش - کرنش سایر نمونه‌ها در اثر عمل آوری با آب یا حلال تغییر چندانی را نشان ندادند. منحنی تنش - کرنش نمونه نیمه آرایش



شکل ۴- منحنی‌های تنش - کرنش نخ نیمه آرایش یافته و عمل آوری شده با آب در دمای ۷۵°C.

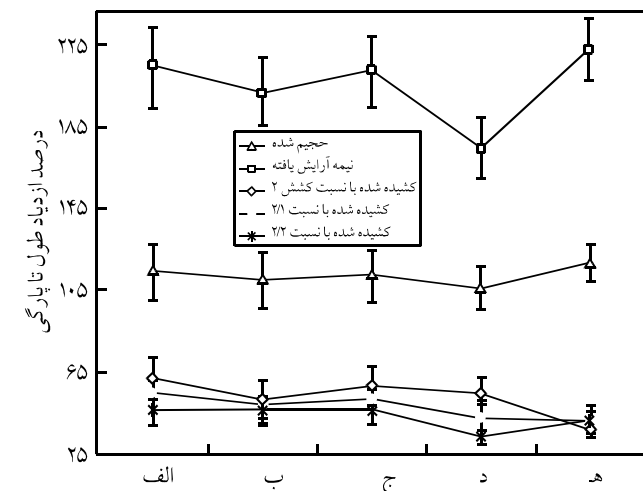


شکل ۱- اثر عملیات مختلف بر استحکام نمونه نخ‌های پلی‌پروپیلن.

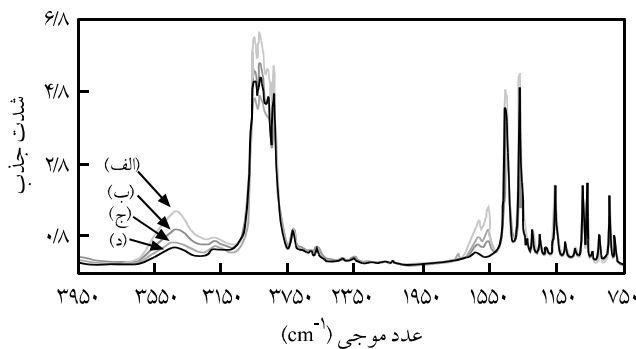
دماهای ۵۵ و ۷۵°C مقداری از پلیمر در حلال حل و خارج شده است.

## خواص مکانیکی

برای نخ‌های مختلف پلی‌پروپیلن، استحکام متفاوتی از ۱۷/۸ تا ۷۱ cN/tex و ازدیاد طول تا پارگی ۳۰ تا ۱۵۰ درصد بسته به روش تولید گزارش شده است [۲-۴، ۱۰]. مطابق شکل‌های ۱ و ۲ می‌توان استنباط کرد که نتایج به دست آمده برای نخ‌های مورد آزمایش در محدوده گزارش



شکل ۲- اثر عملیات مختلف بر ازدیاد طول تا پارگی نمونه نخ‌های پلی‌پروپیلن: (الف) شسته شده با متانول، (ب) عمل آوری شده با دکالین در ۲۸°C و یک روز، (ج) عمل آوری با دکالین در ۵۵°C در ۶۰min و (د) عمل آوری با دکالین در ۵۵°C و ۶۰min و (ه) عمل آوری با دکالین در ۷۵°C و ۶۰min.

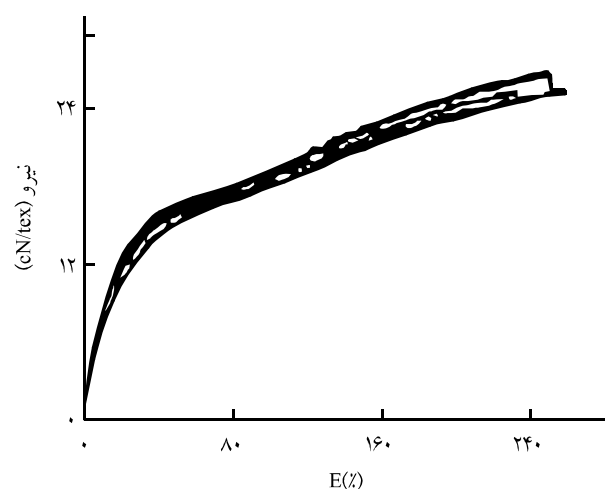


شکل ۶- طیف‌های FTIR نمونه نخ‌های نیمه آرایش یافته خام و عمل آوری شده به روش‌های مختلف: (الف) متانول خام، (ب) دکالین، (ج) دکالین  $75^{\circ}\text{C}$  و (د) رسوب.

#### طیف سنجی زیرقرمز

مطابق شکل ۶ ملاحظه می‌شود که ستیغ‌های ضعیف یا بسیار ضعیف به حساسیت دستگاه‌ها نسبت داده می‌شوند. ستیغ‌های  $1370$ ،  $1377$ ،  $1378$ ،  $1454\text{ cm}^{-1}$  و  $1330$ ،  $1034$  و  $1365\text{ cm}^{-1}$  فقط در مرجع [۲۲] وجود دارند. این اختلاف با هم توافق ندارند. اما، اعداد موجی این ستیغ‌ها نزدیک به اعداد موجی با شدت زیاد دیگری است که به نظر می‌رسد با هم تلفیق شده‌اند. باید توجه داشت که مرجع [۲۳] فقط ستیغ‌هایی را ذکر کرده است که بیشتر مورد استفاده قرار می‌گیرند.

جدول ۴ نیز نشان می‌دهد که ستیغ‌های  $1154$ ،  $1296$ ،  $1326$  و  $1434$  یا  $1435\text{ cm}^{-1}$  که در هر دو مرجع شناسایی شدند، در نمونه‌های



شکل ۵- منحنی‌های تنش - کرنش نخ نیمه آرایش یافته و عمل آوری شده با دکالین در دمای  $75^{\circ}\text{C}$ .

یافته که به مدت  $1\text{ h}$  در دکالین  $75^{\circ}\text{C}$  قرار گرفته بود، فقط دارای یک تغییر شیب است. در حالی که در منحنی‌های تنش - کرنش نمونه‌هایی که در آب قرار گرفته بود، دو تغییر شیب ملاحظه می‌شود. شکل‌های نشان می‌دهند رفتار رشته‌ها در ناحیه تسلیم متفاوت است. برای نشان دادن این اختلاف به طور کمی اقدامی انجام نشد. بنابراین، تجزیه و تحلیل این رفتار باید در آینده مورد توجه قرار گیرد. به نظر می‌رسد که عمل آوری با دکالین در مشخصات نقطه تسلیم نخ‌های نیمه آرایش یافته تغییرات قابل توجهی به وجود آورده است و منحنی تنش - کرنش به منحنی تنش - کرنش نخ‌های پلی‌پروپیلن سخت و کشسان [۵] نزدیک شده است.

جدول ۵- اعداد موجی و شدت ستیغ‌هایی که در طیف زیرقرمز نمونه‌ها وجود دارد ولی در مراجع [۲۲، ۲۳] مشخص نشده‌اند.

رسوب	عمل آوری شده با دکالین در دمای $75^{\circ}\text{C}$	عمل آوری شده با دکالین در دمای $55^{\circ}\text{C}$	شسته شده با متانول (خام)
عدد موجی، $\text{cm}^{-1}$ (شدت)			
$1561(1/67)$	$1561(1/02)$	$1561(0/68)$	$1561(1/67)$
$1619(1/25)$	$1620(0/80)$	$1619(0/56)$	$1619(1/25)$
$1636(0/35)$	—	—	—
—	$1744(0/32)$	$1742(0/28)$	$1743(0/32)$
$2361(0/17)$	—	$2364(0/15)$	$2357(0/21)$
—	$2430(0/18)$	—	—
$2581(0/45)$	$2581(0/45)$	$2582(0/44)$	$2582(0/44)$
$2616(0/40)$	$2618(0/44)$	$2617(0/42)$	—

جدول ۶- نسبت شدت سنتیغ‌های ۹۹۸ به  $973\text{ cm}^{-1}$  در نمونه‌های مختلف.

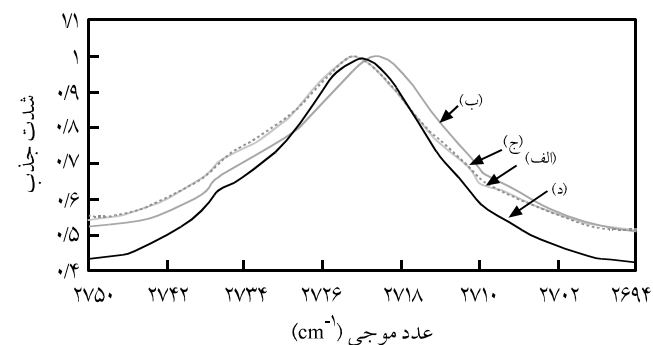
نام نمونه‌ها	نسبت شدت سنتیغ‌های ۹۹۸ به $973\text{ cm}^{-1}$
نخ نیمه آرایش یافته و شسته شده با متانول (خام)	۰/۸۶
نخ نیمه آرایش یافته و عمل آوری شده با دکالین در $55^{\circ}\text{C}$	۰/۸۸
نخ نیمه آرایش یافته و عمل آوری شده با دکالین در $55^{\circ}\text{C}$ و کشیده شده	۰/۹۲
نخ نیمه آرایش یافته و عمل آوری شده با دکالین در $75^{\circ}\text{C}$	۰/۹
رسوب	۰/۹۶

ماریچی که در جزء بلوری پلیپروپیلن به وجود می‌آید، نسبت داده شده است [۲۴]. این نسبت برای نمونه‌های مختلف محاسبه و در جدول ۶ نشان داده شده‌اند.

تغییر در نسبت شدت سنتیغ ۹۹۸ به  $973\text{ cm}^{-1}$  در نمونه نخ عمل آوری شده با دکالین به مدت ۱ h در  $55^{\circ}\text{C}$  که با دستگاه اینسترون کشیده شده نیز قابل ملاحظه است.

به طوری که در شکل ۶ ملاحظه می‌شود عمل آوری با حال موجب اکسایش پلیپروپیلن نشده است. بر عکس عمل آوری با دکالین موجب شده که عوامل تخریب شده از نمونه‌ها خارج شوند. تخریب گرمایی و نوری پلیپروپیلن موجب به وجود آمدن محصولات متفاوتی می‌شود [۲۵]. این محصولات حاوی هیدروکسیل (POOH) و گروه‌های کربونیل (C=O) هستند. برای تعیین مقدار تخریب به وسیله طیف‌سنجی زیرقرمز از شدت جذب در نواحی مشخصه این گروه‌ها استفاده می‌شود [۲۶].

شکل ۷ طیف FTIR نمونه‌ها در محدوده  $1654\text{--}1850\text{ cm}^{-1}$  نشان می‌دهد. این ناحیه مربوط به گروه‌های کربونیل (C=O) است. ملاحظه می‌شود که نمونه خام حاوی مقدار قابل توجهی گروه‌های کربونیل است.



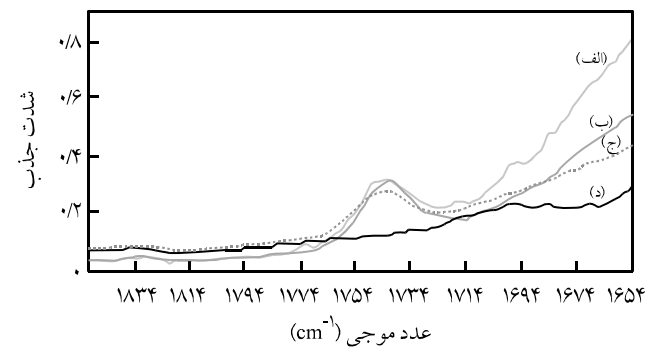
شکل ۸- طیف‌های FTIR در ناحیه  $2694\text{--}2750\text{ cm}^{-1}$  برای نمونه‌های نخ نیمه آرایش یافته خام و عمل آوری شده به روش‌های مختلف: (الف) متانول خام، (ب) دکالین  $55^{\circ}\text{C}$ ، (ج) دکالین  $75^{\circ}\text{C}$  و (د) رسوب.

مورد آزمایش وجود ندارند. به نظر می‌رسد که سنتیغ‌های  $1155$ ،  $1296$  و  $1326\text{ cm}^{-1}$  همه بسیار ضعیف و شدت بسیار کمی دارند. عدم وجود آنها در طیف نمونه‌ها را می‌توان نیز به حساسیت دستگاه نسبت داد. سنتیغ  $1460\text{ cm}^{-1}$  یک سنتیغ با شدت زیاد است که در مراجع وجود دارد و در طیف نمونه‌ها موجود نیست. سنتیغ  $1460\text{ cm}^{-1}$  نزدیک به سنتیغ  $1454\text{ cm}^{-1}$  است که احتمالاً در طیف‌هایی که اندازه گیری شده است، با هم تلفیق شده‌اند.

سنتیغ‌های  $841$ ،  $842$  یا  $849$  یا  $900$  یا  $998$  یا  $1219$  و  $1220\text{ cm}^{-1}$  مربوط به پیوندهای باقاعدۀ شناخته شده‌اند که در پلیمر در حالت مذاب بسیار ضعیف خود را نشان می‌دهند [۲۴]. به طوری که در جدول ۴ نشان داده شده است، عمل آوری با دکالین بر شدت این سنتیغ‌ها مؤثر بوده است. به نظر می‌رسد که عمل آوری با دکالین موجب شده است که توالی ماریچی‌ها در نواحی بی‌نظم تغییر کند.

سنتیغ‌های دیگری در نمونه‌های مورد آزمایش وجود دارند که در مراجع [۲۲، ۲۳] مشخص نشده است. این سنتیغ‌ها در جدول ۵ خلاصه شده‌اند.

نسبت شدت سنتیغ‌های ۹۹۸ به  $973\text{ cm}^{-1}$  در پلیپروپیلن به ساختار

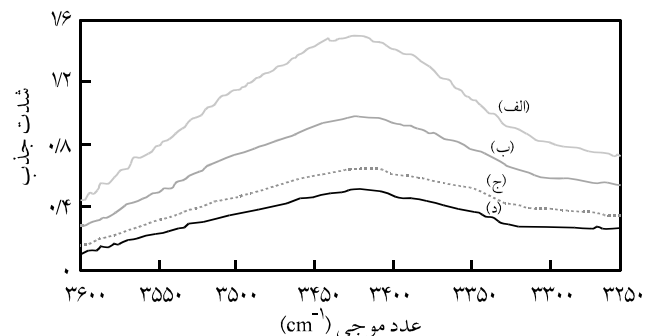


شکل ۷- طیف‌های FTIR در ناحیه  $1654\text{--}1850\text{ cm}^{-1}$  برای نمونه‌های نیمه آرایش یافته خام و عمل آوری شده به روش‌های مختلف: (الف) متانول خام، (ب) دکالین  $55^{\circ}\text{C}$ ، (ج) دکالین  $75^{\circ}\text{C}$  و (د) رسوب.

## جدول ۷- شاخص‌های گروه‌های $\text{C=O}$ و $\text{POOH}$ در نمونه‌های چند رشته‌ای نیمه آرایش یافته.

$\text{C=O}$	شاخص POOH	شاخص شاسته شده با متانول	نمونه‌ها
۱۹۹۲	۷۵۶	شاسته شده با متانول	
۱۰۵۵	۰۹۲	عمل آوری شده با دکالین $55^{\circ}\text{C}$	
۸۸۴	۰۷۵	عمل آوری شده با دکالین $75^{\circ}\text{C}$	
۵۴۲	۰۷۵	رسوب	

**گرماسنجی پویشی تفاضلی**  
 دمای ذوب الیاف پلی پروپیلن در محدوده  $165^{\circ}\text{C}$  تا  $175^{\circ}\text{C}$  در مراجع مختلف گزارش شده است [۱-۳]. مطابق نتایج جدول ۸ و شکل‌های ۱۰ تا ۱۲ ملاحظه می‌شود که تمام نمونه‌ها دمای ذوب بین  $162^{\circ}\text{C}$  تا  $169^{\circ}\text{C}$  را نشان می‌دهند که با مقادیر ذکر شده در مراجع تفاوت چندانی ندارند.  
 برای محاسبه درصد بلورینگی با استفاده از گرمای نهان ذوب باید توجه داشت که این مقدار تحت تأثیر عوامل مختلفی مانند سرعت گرمادهی و دما قرار می‌گیرد. تمام نمونه‌های خام عمل آوری شده غیر از نمونه نیمه آرایش یافته، درصد بلورینگی حدود ۵۱ تا ۵۷ درصد دارند.  
 نمونه نیمه آرایش یافته قبل از آن که تحت تأثیر عملیات کششی و گرمایی قرار گیرد، درصد بلورینگی بیشتری را نشان می‌دهد. بیشتر بودن بلورینگی می‌تواند در اثر تبلور مجدد هنگام گرم شدن در زمان اندازه گیری یا در اثر ساختار بلوری متفاوت هنگام شکل گرفتن الیاف موقع ریستندگی باشد. ممکن است نمونه نیمه آرایش یافته خام (شاسته شده با متانول) مولکول‌های آزاد زیادتری نسبت به سایر نمونه‌های داشته باشد که هنگام گرم کردن (در موقع اندازه گیری) تبلور می‌شوند و در نتیجه در دمای ذوب، دمای نهان ذوب بیشتری را نشان می‌دهند و درصد بلورینگی آن بیشتر از سایر نمونه‌های است. وجود دو ستیغ در نمودار گرمایی نمونه نیمه آرایش یافته، موضوع تبلور مجدد را تأیید



شکل ۹- طیف‌های FTIR در ناحیه  $3250\text{-}3600\text{ cm}^{-1}$  برای نمونه‌های نیمه آرایش یافته خام و عمل آوری شده به روش‌های مختلف: (الف) شاسته شده با متانول، (ب) دکالین  $55^{\circ}\text{C}$ ، (ج) دکالین  $75^{\circ}\text{C}$  و (د) رسوب.

ناحیه بین  $2694\text{ cm}^{-1}$  تا  $2750\text{ cm}^{-1}$  که مرکزیت آن در  $2720\text{ cm}^{-1}$  است در اثر تخریب، تغییری نشان نمی‌دهد [۲۵]. شکل ۸ طیف جذبی نمونه‌ها را در محدوده  $2694\text{ cm}^{-1}$  تا  $2750\text{ cm}^{-1}$  نشان می‌دهد که تفاوت چندانی بین نمونه‌ها ملاحظه نمی‌شود. شدت جذب در این ناحیه می‌تواند به عنوان مرجع مورد استفاده قرار گیرد.

شکل ۹ طیف FTIR نمونه‌ها را در محدوده  $3250\text{ cm}^{-1}$  تا  $3600\text{ cm}^{-1}$  نشان می‌دهد که مربوط به  $\text{POOH}$  است، ملاحظه می‌شود که گروه‌های کربوکسیل نیز در نمونه‌های عمل آوری شده با حلال کمتر از نمونه خام است. شاخص کربونیل ( $\text{C=O}$ ) به شکل مساحت ستیغ‌های محدوده  $1654\text{ cm}^{-1}$  تا  $1850\text{ cm}^{-1}$  به مساحت ناحیه  $2694\text{ cm}^{-1}$  تا  $2750\text{ cm}^{-1}$  و شاخص کربوکسیل ( $\text{POOH}$ ) به شکل نسبت مساحت ناحیه  $3250\text{ cm}^{-1}$  تا  $3600\text{ cm}^{-1}$  به مساحت ناحیه ستیغ‌های محدوده  $2694\text{ cm}^{-1}$  تا  $2750\text{ cm}^{-1}$  در جدول ۷ نشان داده شده است.

به طوری که جدول ۷ نشان می‌دهد، عمل آوری نخ‌ها با حلال دکالین موجب خروج محصولات حاصل از تخریب نوری و گرمایی شده است.

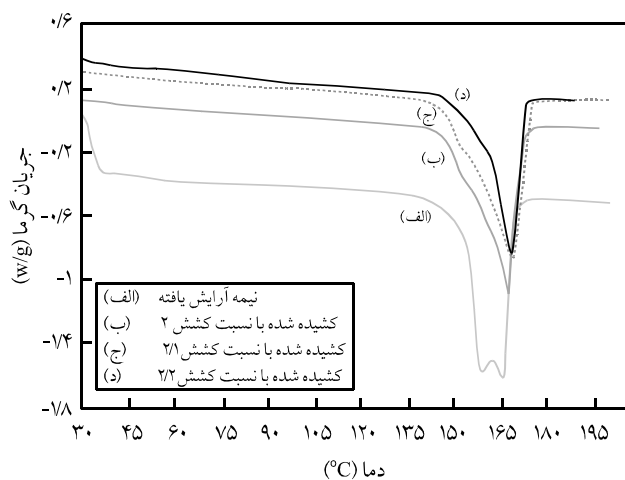
جدول ۸- دمای ذوب و درصد بلورینگی (آزمایش DSC) نمونه‌های مختلف.

X (%)	دما ذوب (°C)	رسوب پس از انحلال در دکالین در $95^{\circ}\text{C}$	عمل آوری شده با دکالین در $75^{\circ}\text{C}$	شاسته شده با متانول		انواع نمونه نخ‌ها
				X (%)	دما ذوب (°C)	
۶۴	۱۶۴/۲	۵۴	۱۶۵/۵	۵۳	۱۶۴/۳	(BCF) حجمی شده
۶۶	۱۶۳/۷	۴۹	۱۶۰/۰	۶۱	۱۶۳/۵	(POY) نیمه آرایش یافته
۶۴	۱۶۳/۵	۵۶	۱۶۷/۹	۵۷	۱۶۴/۰	کشیده شده با نسبت کشش ۲
۶۴	۱۶۲/۶	۵۴	۱۶۹/۱	۵۴	۱۶۲/۵	کشیده شده با نسبت کشش ۲/۱
۶۵	۱۶۳/۵	۵۷	۱۶۹/۱	۵۱	۱۶۳/۴	کشیده شده با نسبت کشش ۲/۲ (FOY)

دارای دمای ذوب و درصد بلورینگی یکسان هستند. هنگام تبلور همگی دارای شرایط یکسان بوده و یک فاز پایدار مشخص تشکیل شده است. نمونه‌هایی که در شرایط متفاوت شکل گرفته‌اند یا تحت تاثیر عوامل مختلفی قرار گرفته‌اند رفتار گرمایی متفاوتی نشان داده‌اند، مانند آنچه که در شکل‌های ۱۰ و ۱۱ آمده است.

### پراش پرتو X

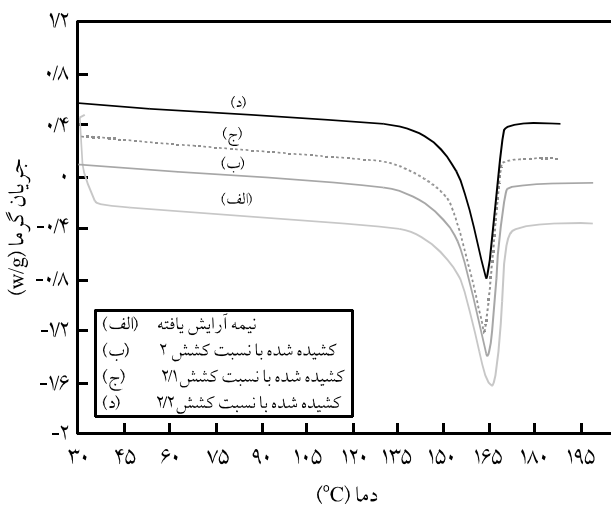
شکل ۱۳ طیف‌های پراش پرتو X برای زوایای پراش  $10^{\circ}$  تا  $130^{\circ}$  برای نمونه نیمه آرایش یافته و شسته شده با متانول (خام) و همچنین نمونه عمل آوری شده با دکالین در  $75^{\circ}\text{C}$  را نشان می‌دهد. سه ستیغ اولیه در زوایای پراش  $10^{\circ}$ ،  $20^{\circ}$  و  $25^{\circ}$  است که به انعکاس صفحات ( $110^{\circ}$ )، ( $040^{\circ}$ ) و ( $130^{\circ}$ ) مربوط است. ستیغ مشهود بعدی در  $2\theta = 214^{\circ}$  مربوط به صفحات ( $131^{\circ}$ ) و ( $041^{\circ}$ ) است. دو ستیغ نسبتاً ضعیف بعدی در  $2\theta = 256^{\circ}$  و  $286^{\circ}$  مربوط به صفحات ( $060^{\circ}$ ) و ( $220^{\circ}$ ) است. این طیف مطابق با پلی پروپیلن بلوری به شکل تک شبیب آلفا با مشخصات سل واحد  $a = 6.96\text{\AA}$ ،  $b = 20.96\text{\AA}$ ،  $c = 9.93\text{\AA}$  است [۲۷]. در نمونه شسته شده با متانول (شکل ۱۳) ستیغ مربوط به صفحات ( $131^{\circ}$ ) و ( $041^{\circ}$ ) در  $2\theta = 214^{\circ}$  وجود ندارد. در حالی که در نمونه عمل آوری شده با دکالین به طور بارزی دیده می‌شود (شکل ۱۳). این تغییر نتایج حاصل از گرماسنجی پویشی تفاضلی را تأیید می‌کند که دکالین موجب تبلوری جدید در نمونه نیمه آرایش یافته شده است. درصد بلورینگی مشابه با روشی که ویدینگر و هرمن [۲۸] پیشنهاد کرده‌اند، معین شد. درصد بلورینگی حدود ۴۵ درصد برای هر نمونه بود



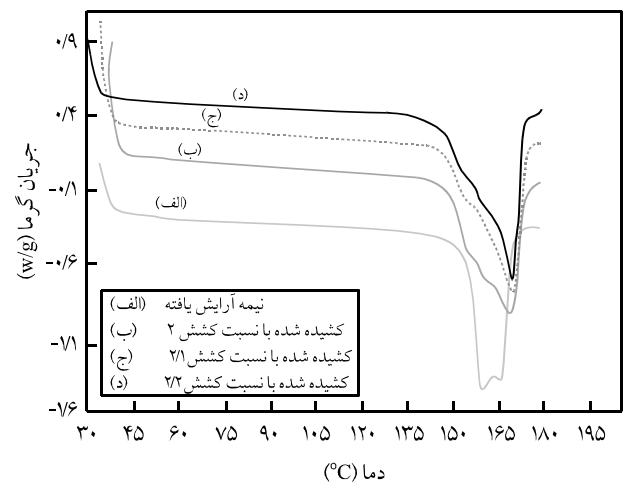
شکل ۱۰-نمودار DSC برای نمونه‌های مختلف پس از شستشو با متانول.

می‌کند. به نظر می‌رسد که مولکول‌هایی که در ناحیه بلوری نبوده‌اند، شکل متفاوتی از تبلور را به وجود می‌آورند.

شکل‌های ۱۰ و ۱۱ نمودارهای رفتار گرمایی نمونه‌های نخ‌هارا قبل از عمل آوری با دکالین و بعد از عمل آوری با دکالین در  $75^{\circ}\text{C}$  نشان می‌دهند. در اثر حلal تغییرات قابل ملاحظه‌ای در ستیغ‌های گرمایی نمونه‌ها ملاحظه نمی‌شود. تغییرات جزئی می‌تواند در اثر به وجود آمدن بلورهایی با ساختار متفاوت یا ذوب شدن بلورهایی با ساختار متفاوت باشد که موجب تغییر جزئی رفتار گرمایی نمونه‌ها شده است. شکل ۱۲ نمودارهای رفتار گرمایی بلورهای رسوب داده شده از انواع نمونه‌ها را نشان می‌دهد. همان‌طور که انتظار می‌رفت تمام این نمونه‌ها



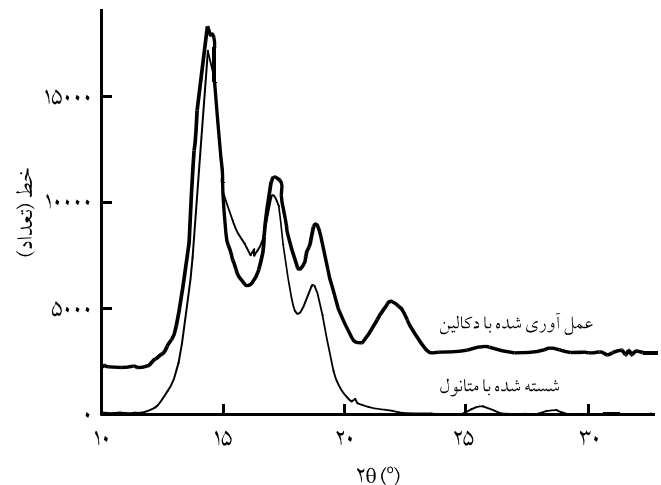
شکل ۱۲- نمودار DSC بلورهای رسوب داده شده برای نمونه‌های مختلف پس از انحلال در دکالین در دمای  $75^{\circ}\text{C}$ .



شکل ۱۱- نمودار DSC برای نمونه‌های مختلف پس از عمل آوری با دکالین در دمای  $75^{\circ}\text{C}$ .

جدول ۹- ابعاد بلورچه ها در رشته های خام و عمل آوری شده با دکالین.

اندازه بلورها (Å)		صفحات	زاویه پراش (2θ)
نمونه خام	نمونه عمل آوری شده با دکالین		
۱۱۴/۳۲	۱۱۴/۳۲	(۰۱۱)	۱۴/۲
۱۲۳/۸۴	۱۲۳/۸۴	(۰۴۰)	۱۷/۱
۱۴۶/۳۱	۱۴۶/۳۱	(۱۳۰)	۱۷۶
۱۳۴/۸۱	۰	(۰۴۱) و (۱۳۱)	۲۱۹
۱۸۰/۹۷	۱۸۰/۹۷	(۲۲۰) و (۰۶۰)	۲۵/۶
۲۰۴/۸۸	۲۰۴/۸۸	(۲۲۰) و (۰۶۰)	۲۸/۶



شکل ۱۳- طیف پراش پرتو X نخ نیمه آرایش یافته شسته شده با متانول و عمل آوری شده با دکالین در دمای ۷۵°C

ضریب شکست مضاعف برای پلی پروپیلن به شکل الیاف مقادیر متفاوت ضریب شکست مضاعف گزارش شده است. ضریب شکست برای رشته کشیده شده قبل از تثبیت گرمایی ۰/۰۳۱ و بعد از تثبیت گرمایی زیرکشش در دمای ۰/۰۲۹، ۱۵۰°C گزارش شده است.

برای رشته های پلی پروپیلن که با سرعت ۳۵۰۰ m/min تولید شده بودند، ضریب شکست مضاعف ۰/۰۲۱ و بسته به نسبت کشش اعمال شده به ۰/۰۳۱ می رسد [۲۰]. مانند آن چه که برای الیاف مصنوعی معمول است، افزایش نسبت کشش در فرایند کشش همراه با افزایش ضریب شکست مضاعف است [۲،۳]. بنابراین، نتایج اندازه گیری شده در این پژوهش (بین ۰/۰۱۹ تا ۰/۰۳۳) دور از انتظار نیست (جدول ۱۰).

از مقایسه نمونه های نیمه آرایش یافته و کشیده شده، اثر کشش مشخص می شود. کشش باعث افزایش آرایش مولکولی و در نتیجه افزایش ضریب شکست مضاعف شده است.

این موضوع را می توان در نمونه های عمل آوری شده با دکالین نیز ملاحظه کرد. اما، آن چه حائز اهمیت است، این که حلال دکالین علاوه بر خارج کردن مقدار جزئی مواد، موجب تغییر در ساختار الیاف نیز شده

و تفاوت قابل توجهی بین دو نمونه ملاحظه نشد. به نظر می رسد که جدا کردن شدت مربوط به بخش بلوری و بی نظم برای پلی پروپیلن که اختلاف کمی در مقدار بلورینگی دارند به طریق ساده معمولی امکان پذیر نباشد.

ابعاد بخش های بلوری در جهت های صفحات مختلف با استفاده از طیف پراش پرتو X و با استفاده از معادله شر [۲۷] محاسبه شد:

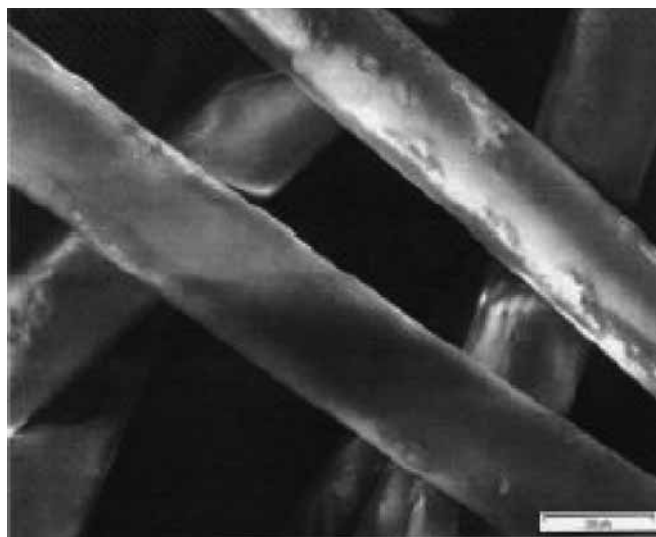
$$L = \frac{\lambda}{\beta \cos \theta} \quad (1)$$

در این معادله L ابعاد بلورچه، λ طول موج پرتو، β عرض ستیغ در نیمه ارتفاع و θ زاویه پراش است.

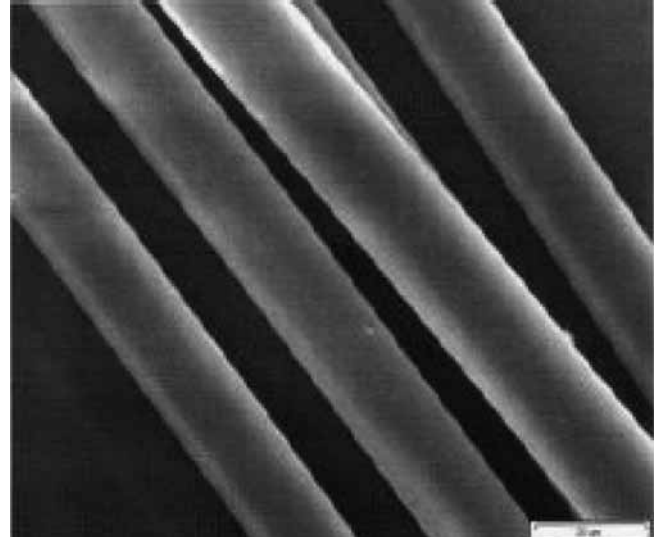
نتایج حاصل در جدول ۹ نشان می دهد که عمل آوری با دکالین موجب تغییر ابعاد بلوری فقط در امتداد عمود بر صفحات (۱۳۱) و (۰۴۱) شده است و اندازه بلورها در جهت دیگر بدون تغییر مانده است.

جدول ۱۰- ضریب شکست مضاعف نمونه های چند رشته ای.

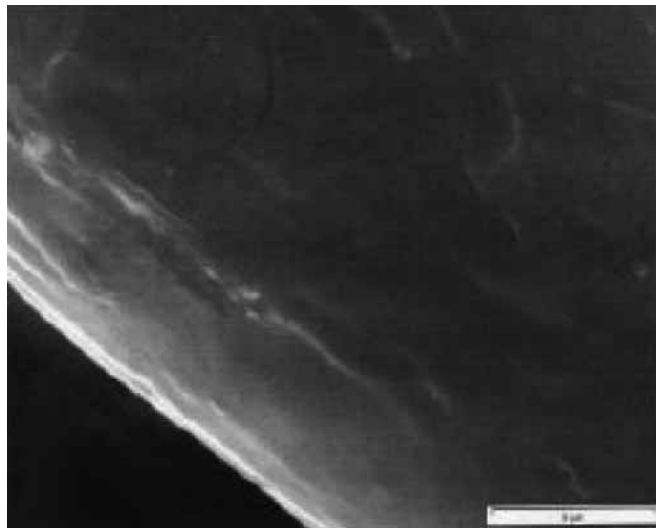
ضریب شکست مضاعف				انواع نمونه نخ ها
عمل آوری شده با دکالین (۷۵°C)	عمل آوری شده با دکالین (۵۵°C)	عمل آوری شده با دکالین (۲۵°C)	شسته شده با متانول	
۰/۰۲۴	۰/۰۲۴	۰/۰۲۰	۰/۰۱۹	نیمه آرایش یافته (POY)
۰/۰۳۲	۰/۰۳۱	۰/۰۲۵	۰/۰۲۶	کشیده شده با نسبت کشش ۲
۰/۰۳۳	۰/۰۳۱	۰/۰۲۷	۰/۰۲۶	کشیده شده با نسبت کشش ۲/۱
۰/۰۳۳	۰/۰۳۲	۰/۰۲۷	۰/۰۲۶	کشیده شده با نسبت کشش (FOY) ۲/۲



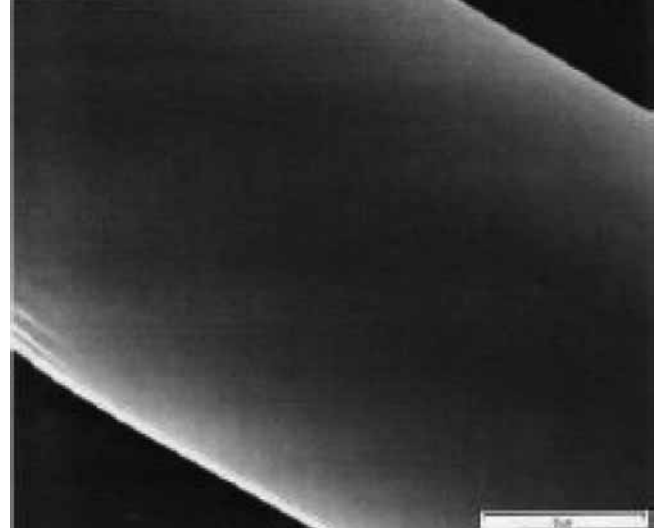
(ب)



(الف)



(د)



(ج)

شکل ۱۴- تصویر میکروسکوپ الکترونی (SEM) نخ نیمه آرایش یافته و عمل آوری شده با: (الف) آب و (ب) دکالین با بزرگ نمایی ۱۰۰۰ و (ج) آب و (د) دکالین با بزرگ نمایی ۶۰۰.

**میکروسکوپی**  
با مشاهده سطوح الیاف با میکروسکوپ الکترونی می‌توان گفت اگرچه عمل آوری با دکالین موجب کاهش وزن حدود ۳ درصد شده است، اما هیچ نوع بر جستگی یا خلل و فرج قابل ملاحظه‌ای روی سطح الیاف مشاهده نشد. شکل ۱۴ (الف، ب، ج و د) تصاویری از سطوح الیاف مختلف را نشان می‌دهد. چنان‌چه تغییراتی در ساختار میکروسکوپی الیاف به وجود آمده باشد کوچکتر از قدرت تفکیک میکروسکوپ (۲۰۰ nm) بوده است.

است. ناخالصی‌های خارج شده در اثر دکالین می‌تواند پلی‌پروپیلن با وزن مولکولی کم یا بی‌قاعده یا مواد باقی‌مانده در فرایندهای تولید پلیمر باشد.

عمل آوری با دکالین در دمای  $75^{\circ}\text{C}$  موجب افزایش حدود ۲۶ درصد در ضربیب شکست مضاعف نمونه نیمه آرایش یافته و حدود ۲۷ درصد افزایش در ضربیب شکست مضاعف نمونه کشیده شده است. این افزایش ضربیب شکست می‌تواند در اثر افزایش آرایش مولکولی در نواحی بی‌نظم یا افزایش آرایش بلوری باشد.

## نتیجه‌گیری

می‌دهد که حلال در پلیپروپیلن تغییراتی به وجود می‌آورد. باید بتوان در راستای به وجود آوردن ساختار و خواص مناسب از آن سود جست. در مقدمه تصویری از ساختار الیاف شرح داده شد، با درنظر گرفتن آن ساختار که نتیجه مطالعاتی بسیار طولانی است [۶-۸]، اثر حلال را می‌توان به بخش کوچکی از این ساختار محدود دانست. در دمای کم حلالی مانند دکالین فقط به نواحی بین ورقه‌ها و بین ریزلیفچه‌ها نفوذ می‌کند. مناطق بی‌نظم خمیری شده و زنجیرها می‌توانند روی هم بلغزند و تبلور را کامل کنند. در نمونه کشیده شده ریزلیفچه‌ها کامل‌تر و آن چنان کنار هم قرار گرفته‌اند که حلال نمی‌تواند تغییرات قابل توجهی در آنها ایجاد کند. در نمونه نیمه‌آرایش یافته حلال موجب جابه‌جایی مولکول‌ها و بلورها شده و شکل منحنی تنش - کرنش را در ناحیه تسلیم تغییر داده است. اما، چون در دمای کم حلال فقط ناخالصی‌ها و مولکول‌های با وزن مولکولی کم را خارج می‌کند، اثر چشمگیری بر استحکام و ازدیاد طول تا پارگی نگذاشته است.

### تشکر و قدودانی

بی‌شک پژوهش‌های تجربی بدون کمک و یاری از متخصصانی که با دقیق و حوصله‌ای قابل تحسین از دستگاه‌ها نگهداری و به انجام اندازه‌گیری‌ها می‌پردازنند، امکان‌پذیر نیست. مؤلفان لازم می‌دانند از زحمات سرکار خانم مهندس مریم رجبیان که طیف‌های زیرقرمز و نمودارهای گرماسنجی پویشی تفاضلی را تهیه کردند و نیز سرکار خانم لیلا تولمی که اندازه‌گیری پراش پرتو X را انجام دادند، تشکر و قدردانی کنند، چه بدون کمک و یاری آنها این پژوهش امکان‌پذیر نبود. کمک‌های قطب علمی هویت یابی‌های نوین در مهندسی نساجی نیز قابل تقدیر است.

نمونه‌هایی از نخ‌های چند رشته‌ای پلیپروپیلن تک نظم تحت تأثیر دکالین (دکاہیدرونفتالین) قرار گرفت. ملاحظه شد که در دمای بیش از  $90^{\circ}\text{C}$  الیاف کاملاً حل می‌شوند و پس از سرد شدن، در دمای معمولی فقط ۷۵ درجه‌C آن به حالت محلول باقی می‌ماند و ۹۳ تا ۹۵ درجه‌C رسوب می‌کنند. در نمونه‌ها به طور متوسط ۹۴ درجه‌C پلیپروپیلن تک نظم وجود دارد.

در دمای کمتر از  $75^{\circ}\text{C}$  عمل آوری با دکالین، موجب کاهش وزنی حدود ۲ درجه‌C شد. طیف سنجی FTIR، نشان داد که مقدار قابل توجهی از ناخالصی‌ها و عوامل حاوی  $\text{C}=\text{O}$  و  $\text{POOH}$  از نمونه‌ها خارج شده است. همچنین، مشخص شد که مواد خارج شده در پیوسته کردن ساختار در محدوده بیش از ۲۰۰ nm نقشی نداشته است و نیز عوامل خارج شده در تحمل نیرو اثر چندانی نداشته‌اند. استحکام و ازدیاد طول تا پارگی با خارج شدن این مواد، تغییر چندانی نکرده است. طیف‌های جذبی زیرقرمز نشان داد که شدت سنتی‌های نشان دهنده پیوندهای باقاعدۀ، تغییر کرده که نشانی از تغییرات ساختار نخ‌های پلیپروپیلن در اثر حلال بود. تغییر در ساختار بلوری به وسیله پراش پرتو X و گرماسنجی پویشی تفاضلی نیز تأیید شد. تغییر در ساختار می‌تواند در اثر تغییر در آرایش مولکول‌ها در مناطق بی‌نظم با تغییر در آرایش بلوری باشد. نتایج مشخص می‌کند که القای تبلور در نمونه عمل آوری شده با حلال ناچیز است. حلال دکالین در دمای مناسب، می‌تواند ساختار پلیپروپیلن را تغییر دهد. تغییر در ساختار ناشی از اعمال گرمایش یا حلال، می‌تواند در تثبیت شکل مورد استفاده قرار گیرد. در تحقیقی مشابه که روی نایلون انجام شد [۲۹]، ملاحظه شد که نخ‌های چند رشته‌ای را می‌توان تغییر شکل داد و با استفاده از حلال شکل آن را تثبیت کرد. تحقیق حاضر نشان

### مراجع

1. Haghigat Kish M., *Polypropylene*, Iran Polymer Society, Tehran, 2006.
2. Ahmed M., *Polypropylene Fibers Science and Technology*, Elsevier Scientific, New York, 1982.
3. Sen K., *Manufactured Fibre Technology*, Gupta V.B. and Kothari V.K. (Eds.), Chapman & Hall, London, 457-479, 1997.
4. Wishman and Hagler, *Handbook of Fiber Science and Technology, Fiber Chemistry*, Lewin M. and Pearce Eli M. (Eds.), New York, 4, 477-502, 1983.
5. Ren W., Hard Elastic Polypropylene-Nature, Internal Friction and Surface Energy, *Colloid Polym. Sci.*, **270**, 943-955, 1992.
6. Samuels R.J., *Structured Polymer Properties*, John Wiley, New York, USA, 114-210, 1974.
7. Peterlin A., Morphology and Properties of Crystalline Polymers with Fiber Structure, *Text. Res. J.*, **42**, 20-30, 1972.
8. Hautojarvi J. and Niemi H., Surface Morphologies of Polypropylene Fibers Studied by Atomic Force Microscopy, *Text. Res. J.*, **70**, 820-827, 2000.

9. Valko, E.I. and Shawali A.S., Absorption of Organic Liquids by Polypropylene, *ACS Symposium on Interactions of Fiber Systems with Organic Liquids*, Chicago, Illinois, September14, 1970.
10. Wigmann H.D. and Ribnick A.S., Interactions of Nonaqueous Solvents with Textile Fibers, Part IV: Effects of Solvents on the Mechanical Properties of Various Textile Yarns, *Text. Res. J.*, **44**, 165-173, 1974.
11. Uzomah T.C. and Ugbolue S.C.O., Strength Properties of Solvent Vapour-Treated Pre-Tensioned Polypropylene Films, Part I: Halo Hydrocarbon Solvents, *J. Mater. Sci.*, **34**, 1839-1845, 1999.
12. Uzomah T.C. and Ugbolue S.C.O., Strength Properties of Solvent Vapour-Treated Pre-Tensioned Polypropylene Films, Part II: Aromatic Solvent Vapours, *J. Mater. Sci.*, **34**, 4057-4064, 1999.
13. Gorrasí G., Guadagno L. and Vittoria V., Solvent Induced Polymorphism of Quenched Syndiotactic Polypropylene in Different Liquids, *Colloid Polym. Sci.*, **281**, 469-475, 2003.
14. Vittoria V. and Riva F., Solvent-Induced Crystallization of Quenched Isotactic Polypropylene in Different Liquids, *Macromolecules*, **19**, 1975-1979, 1986.
15. Standard Test Method for Determination of Xylene Solubles in Propylene Plastics, Annual Book of ASTM Standard, **512**, D5492-94, 1994.
16. Bozdogan A.E., A Method for Determination of Thermodynamic and Solubility Parameters of Polymers from Temperature and Molecular Weight Dependence of Intrinsic Viscosity, *Polymer*, **45**, 6415-6424, 2004.
17. Cornelia V., *Handbook of Polyolefins*, 2nd ed., CRC, New York, Basel, 410, 2000.
18. Hansen E.W., Redoford K. and Karger-Kocsis J., *Testing Standards in Polypropylene an A-Z Reference*, Kluwer Academic, London, 213, 1999.
19. Wunderlich B., *Thermal Analysis of Polymeric Materials*, Springer, New York, 2005.
20. Haghigat Kish M., Shoushtari S.A. and Kazemi S., Effect of Cold-Drawing and Heat-Setting on the Structure and Properties of Medium Speed Spun Polypropylene Filaments, *Iran. Polym. J.*, **9**, 239-248, 2000.
21. Gupta V.B. and Kothari V.K., *Manufactured Fibre Technology*, Chapman & Hall, London, 162, 1997.
22. Miyazawa T., Theory of Normal Vibrations of Helical Polymers and Vibrational Assignment of the Infrared Spectra of Isotactic Polypropylene, *J. Polym. Sci., Part C: Polym. Symp.*, **7**, 59-84, 1964.
23. Hansen E.W., Redoford K. and Karger-Kocsis J., *Infrared and Raman Spectroscopy of Polypropylene in Polypropylene an A-Z Reference*, Kluwer Academic, London, 322, 1999.
24. Hanna L.A., Hendra P.J., Maddams W., Willis H.A., Zichy V. and Gudby M.E.A., Vibrational Spectroscopic Study of Structural Changes in Isotactic Polypropylene Below the Melting Point, *Polymer*, **29**, 1843-1847, 1988.
25. McKellar J.F. and Allen N.S., *Photochemistry of Man-Made Polymers*, Applied Science, London, 32-74, 1979.
26. Aslanzadeh S. and Haghigat Kish M., Photodegradation of Polypropylene Thermal Bonded Non-Woven Fabric, *Polym. Degrad. Stab.*, **90**, 461-470, 2005.
27. Alexander L.E., *X Ray Diffraction Methods in Polymer Science*, John Wiley and Sons, New York, 280-356, 1969.
28. Weidenger A. and Hermans P.H., On the Determination of the Crystalline Fraction of Isotactic Polypropylene from X-Ray Diffraction, *Makromol. Chem.*, **50**, 98-115, 1966.
29. Haghigat Kish M. and Moeini T., Chemical Setting of Nylon 6 Multifilament Yarns in Twist and Knit-de-Knit Texturing, *Iran. J. Polym. Sci. Technol.*, **4**, 198-208, 1995.